

RECYBAT











Contenu



Contexte et objectifs

• Etat de l'art

• Essais et vieillissement des cellules





Partie 1



Contexte et objectifs





Contexte





Essor du VE afin de décarboner l'industrie du transport







SOH < 75% : **quantité de batterie en fin de lère vie** (30 GWh en Europe en 2030)



Prolongement de la durée de vie de la batterie pour **diminuer l'impact carbone** lié à la production









Présentation et objectifs

AMI: Recyclage et réemploi des batteries (2021) Développer une plateforme d'expertise pour la réutilisation en seconde vie des batteries





Objectifs:

- Nourrir l'état de l'art
- Développer des protocoles de contrôle, d'analyses, de tests et de validation
- Développer des méthodes de diagnostics d'état de santé
- Etudier les mécanismes de vieillissement ainsi que leur impact sur la sécurité des batteries
- Valider la conformité au regard de nouveaux usages

Dates: du 01/05/2022 au 30/09/2028



Centre d'essais et de R&D en électromobilité

Partie 2



• Etat de l'art: Gisement et challenges





Gisement: Estimation de la production mondiale



Estimation

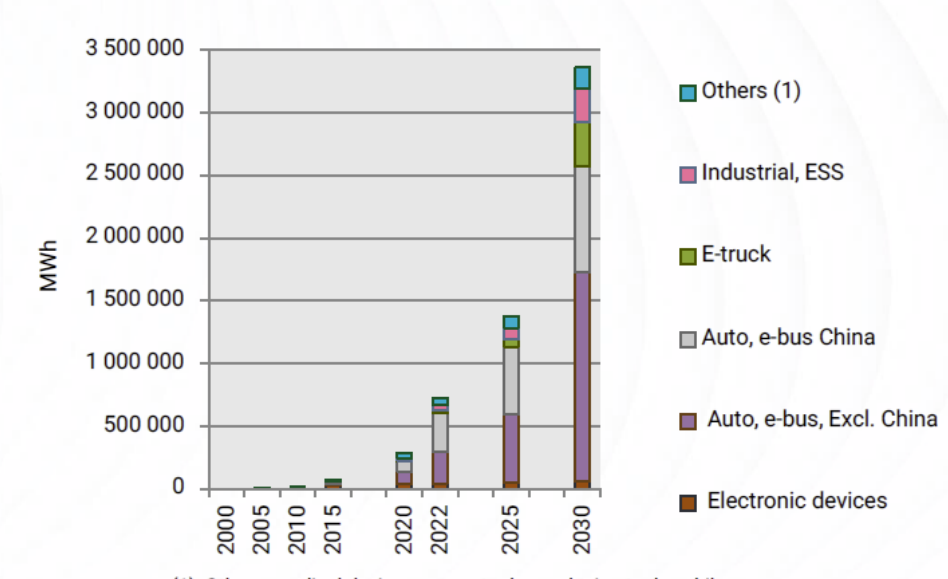
Une estimation de production liée :

- Décisions politiques et confirmation de l'interdiction de ventes de véhicules thermiques (notamment en Europe)
- Evolution du prix des matières premières
- Evolution du prix de l'électricité et du pétrole
- · Adoption du VE dans les mentalités
- Evolution du réseau de recharge
- Poursuite des investissements R&D et prod
- Partenariats technologiques

2500 GWh

Estimation de la quantité de batteries produites destinées aux véhicules électrifiés en 2030

Li-ion Battery sales, Worldwide, 2000-2030, MWh



(1): Others: medical devices, power tools, gardening tools, e-bikes...

Ventes réalisées et projections des ventes pour les batteries Li-ion dans le monde (2000-2030) [Avicenne Energy 2023]



Gisement: projection sur les volumes en seconde vie

Volume en 2nde vie

Il est difficile à estimer car dépend du nombre de batteries produites (dépend des différentes inconnues) et de leur durée de vie avec un recul relativement faible.

En se basant sur une durée de vie comprise entre 10 et 15 ans et sur les données de ventes de VE, les premières batteries arriveront en fin de vie, en quantité significative, à partir de 2027.

La **2**^{nde} vie doit se développer de manière industrielle et massive à cet horizon pour pouvoir être une solution tangible et envisageable.

90 **GWh**

Estimation du gisement potentiel de batteries en seconde vie en 2030

Source	Date	Estimation 2030	Échelle
Lux Research	2016	10 à 60 GWh	Monde
		20 GWh scénario probable	
Circular Energy Storage [9]	01/2020	175 GWh	Monde
Circular Energy Storage [9]	01/2020	30 GWh	Europe
Bobba et al. [6]	06/2019	10 GWh	Europe
CSF [4]	02/2020	< 25GWh, VL seuls	Europe

Estimation à 2030 pour les volumes de batterie en seconde vie [ADEME 2023]

Production

+

Durée de vie



Gisement 2^{nde} vie





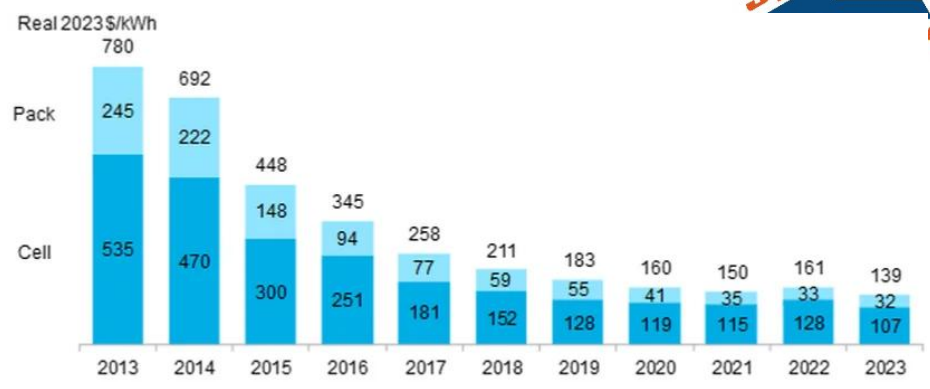


SUTER ELECTION

Coût

- Le coût des batteries de 2^{nde} vie est déterminant pour que celle-ci connaisse un essor
- Concurrence directe avec le coût des batteries neuves (qui se réduit) qui ont de meilleures performances
- Le coût des batteries en 2^{nde} vie dépend de nombreux facteurs: rachat éventuel, coût de reconditionnement [à maîtriser via test et diag. rapide] (collecte, caractérisation, tri, démantèlement, réassemblage, test), coût du recyclage
- Subvention qui pourrait jouer en sa faveur ou sa défaveur (réutilisation ou recyclage?)

Nécessité d'adapter et optimiser des schémas industriels à grande échelle destinés à des modèles spécifiques

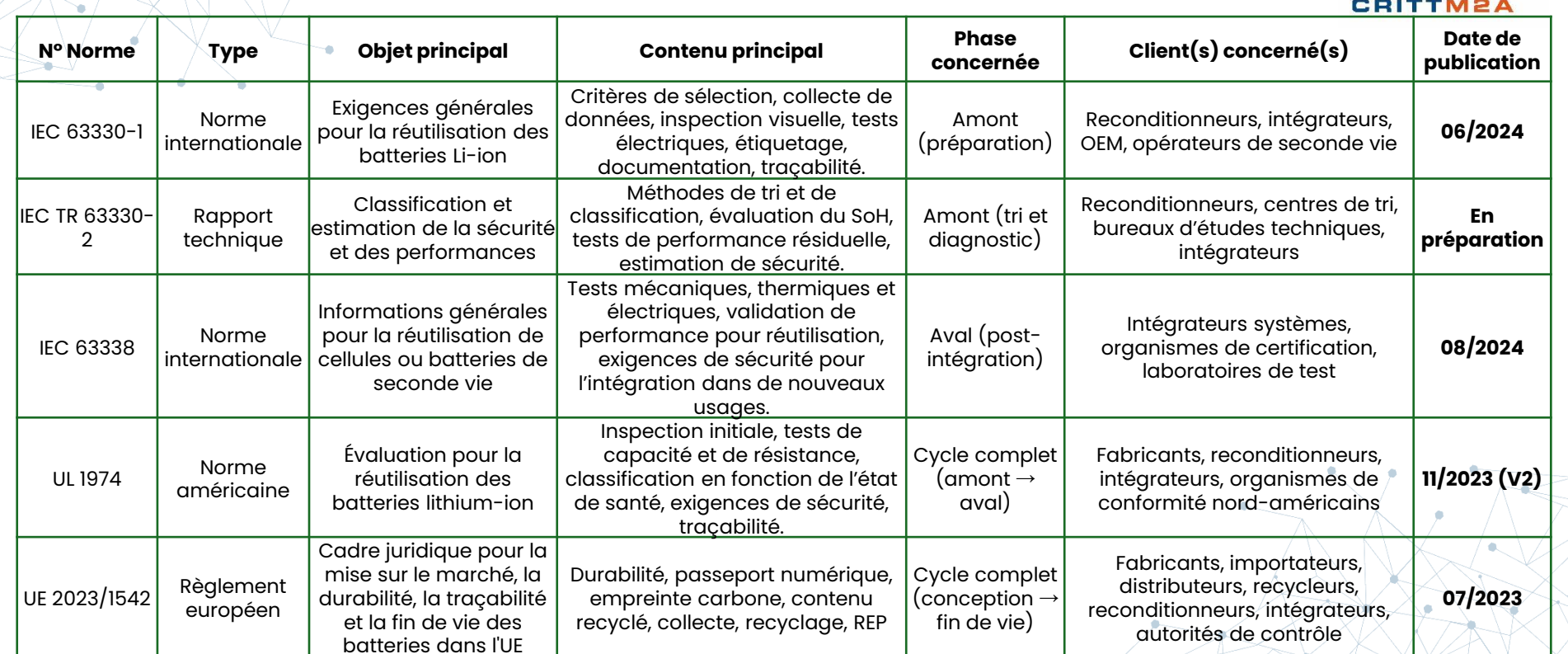


Evolution du prix pack – cellules de 2013 à 2023 [Volta Foundation 2023]

Coûts batteries de s	seconde vie				
Source	Coût du pack	Coût d'achat fin	Coût de		
	reconditionné	de première vie	reconditionnement	Remarques	
	(\$/kWh)	(\$/kWh)	(\$/kWh)		
Ambrose [45] (2020)	80	58	22		
Glöser-Chahoud [46] (2020)	32	10 (achat du pack VE usagé + transport)	12 (démantèlement) + 10 (réassemblage)	Prix de vente 40 \$/kWh, dont 20% de marge brute	
Shahjalal [40]			60 (démantèlement		
(2022)			et test)		
Kelleher [48] (2019)	44	20	24		
Element Energy [51] (2019)	36	6	30	Prix de vente 40 \$/kWh, dont 10% de marge	



Réglementation









Sécurité et homologation réglementaire

- Les batteries neuves sont soumises à de **nombreux essais d'homologation réglementaires** et abusifs (en dehors de la plage de préconisation constructeur) pour être commercialisées.
- Les normes sont nombreuses et dépendent de différents organismes (UL, IEC, SAE, ISO, UN...) selon le territoire et le domaine d'application.
- Les batteries de seconde vie doivent répondre à ces normes et donc être homologuées en cas de modification.
- La difficulté réside en deux axes:
 - Estimer un SOH fiable en ayant connaissance des mécanismes de vieillissement associés qui ont un impact sur la sécurité des batteries => axe majeur de travail de Recybat
 - Etablir un **échantillon représentatif** de l'ensemble des batteries réutilisées pour le test d'homologation. La norme UL1974 recommande de prendre le pire échantillon possible et d'écarter d'emblées les batteries ayant eu des conditions d'usages atypiques (surchauffe, surtension...) => point de vigilance même avec les données BMS.



Un des points clefs et des challenges du projet RECYBAT est d'étudier l'influence des mécanismes de vieillissements et leurs impacts sur la sécurité des batteries.



Synthèse



Opportunités:

- Réduire l'impact environnemental de la batterie et donc celui lié au domaine des transports
- Permet le développement des énergies renouvelables grâce au stockage stationnaire développé

Limites et défis :

- Pas de procédure standardisée pour réaliser un diagnostic d'état de santé
- Diversité des batteries à traiter
- Informations sécurisées par le constructeur (passeport batterie en 2027)
- Aucune réglementation claire en Europe avant juillet 2023
- Phénomène de mort subite
- Rendre le **coût compétitif** par rapport à une batterie neuve
- Obligation d'incorporer des **matériaux recyclés** dans les nouvelles batteries
- Démontage et réassemblage des packs complexe
- Sécurité
- Conformité à l'**homologation** réglementaire







Partie 3



• Essais et analyses sur cellules





CELLULE

SUTEL ZIL

Cellule: SAMSUNG INR21700-53G1 Li-Ion NCA

- Chimie NCA
- Format cylindrique 21700 équipant de nombreux VE dont Tesla (qui tend vers le 4680)
- Samsung est 6e fabriquant Mondial de batterie en 2023
- Facilité d'analyse sur des cellules de petites capacités (5300 mAh)



Item	Chacification
rtem	Specification
3.1 Standard discharge Capacity	Min. 5,140mAh, Tyr. 5,300mAh - Charge: 0.33C(1,749mA), 4.2v, 0.025C(133mA) cutoff @ RT - Discharge: 0.2C(1,060mA), 2.5V cutoff @ RT (Avoid direct wind), * 1C = 5,300mA
3.2 Rated discharge capacity	Min. 5,140mAh, Typ. 5,300mAh - Charge: 0.33C(1,749mA), 4.2V, 0.025C(133mA) cutoff @ RT - Discharge: 1.0C(5,300mA), 2.5V cutoff @ RT (Avoid direct wind), * 1C = 5,300mA
3.3 Max charging Voltage	4.2V (4.15V for cycle life)
3.4 Nominal Voltage	3.63V
3.5 Charging Method	CC-CV (constant voltage with limited current)
3.6 Charging Current rate	0.33C (1,749mA)
3.7 Discharge Cut-off Voltage	2.5V (3.0V for cycle life)
	RPT Capacity ≥ 80% @ after 1,000cycles (80% of the Initial RPT
3.8 Cycle life	- Charge: 0.33C(1,749mA), 4.15V, CCCV 0.05C(265mA) cut-off @ RT - Discharge: 1C(5,300mA), 3.0V cut-off @ RT - RPT Method: Standard discharge Capacity test every 100cycles @RT
3.9 Cell Weight	70.5g±1.5g
3.10 Cell Dimension	Cell height: 70.00 ± 0.15mm Diameter: Φ 21.15 ± 0.20mm
3.11 Operating Temperature(*2) (Cell Surface Temperature)	Charge : 0 to 50°C (refer to 13. operating charging guide) Discharge : -30 to 60°C
3.12 Recovery 80% after storage(*3)	1 year : -20~25°C 3 months : -40~45°C 1 month : -40~60°C



CELLULE

Cellule analogue à celle du véhicule Lucid Air

Plus de 6000 cellules réparties dans une vingtaine de modules











Photo du véhicule et de sa batterie [Lucid Motors]



Synthèse des Analyses & Essais



Vieillissement : étudier l'influence sur les performances électriques et obtenir des cellules vieillies dans des conditions maitrisées

- Calendaire: cellules placées dans des enceintes climatiques sans maintient de SOC et s'autodéchargent sans sollicitations.
- Cyclage: les cellules sont placées dans des enceintes climatiques et subissent des cycles de charges et décharges successifs.

Cellules	Vieillissement							
	Calendaire				Cyclage			
T (en °C)	-20	0	25	45	60	0	25	45

Abusifs: étudier le comportement des cellules en fonction des mécanismes de vieillissement et leur impact sur la sécurité lorsque celles-ci sont testées dans des cas extrêmes et hors limite

- électrique: réalisation d'essais de court-circuit externe
- thermique: réalisation d'un emballement thermique l'aide d'un pad chauffant.

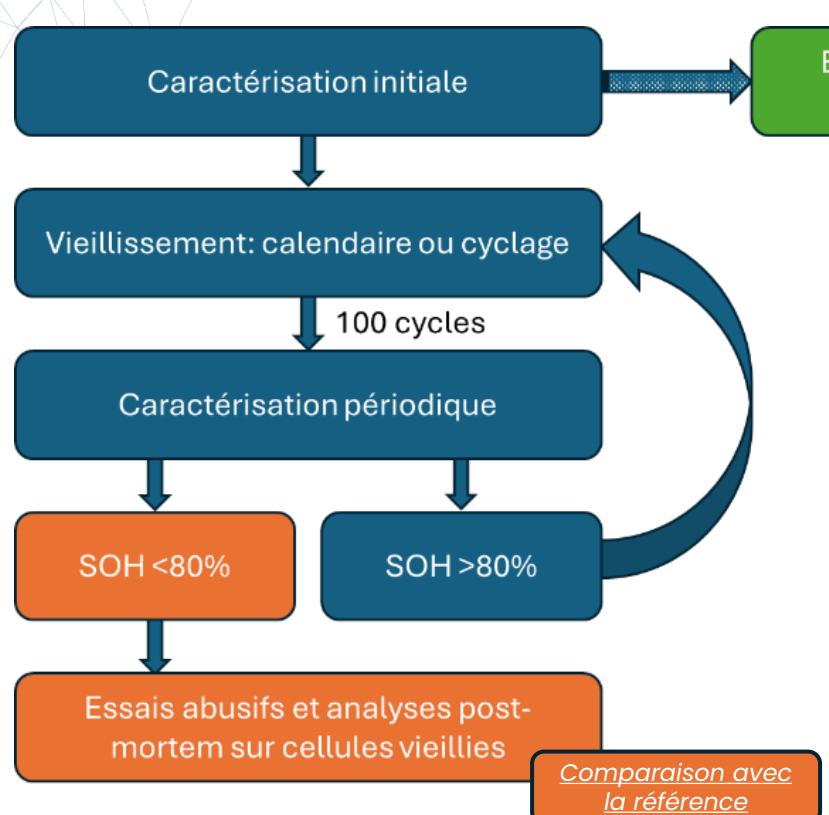
Post-mortem : analyse des mécanismes de vieillissement et de leur manifestation à échelle microscopique lors du démontage de la cellule

L'objectif est d'étudier les mécanismes de vieillissement issu de différentes conditions représentatives des conditions des cas d'usages et fidèles aux tests réalisés par les constructeurs et fabriquant de cellules



Résumé des analyses & tests





Essais abusifs et analyses postmortem sur cellules neuves

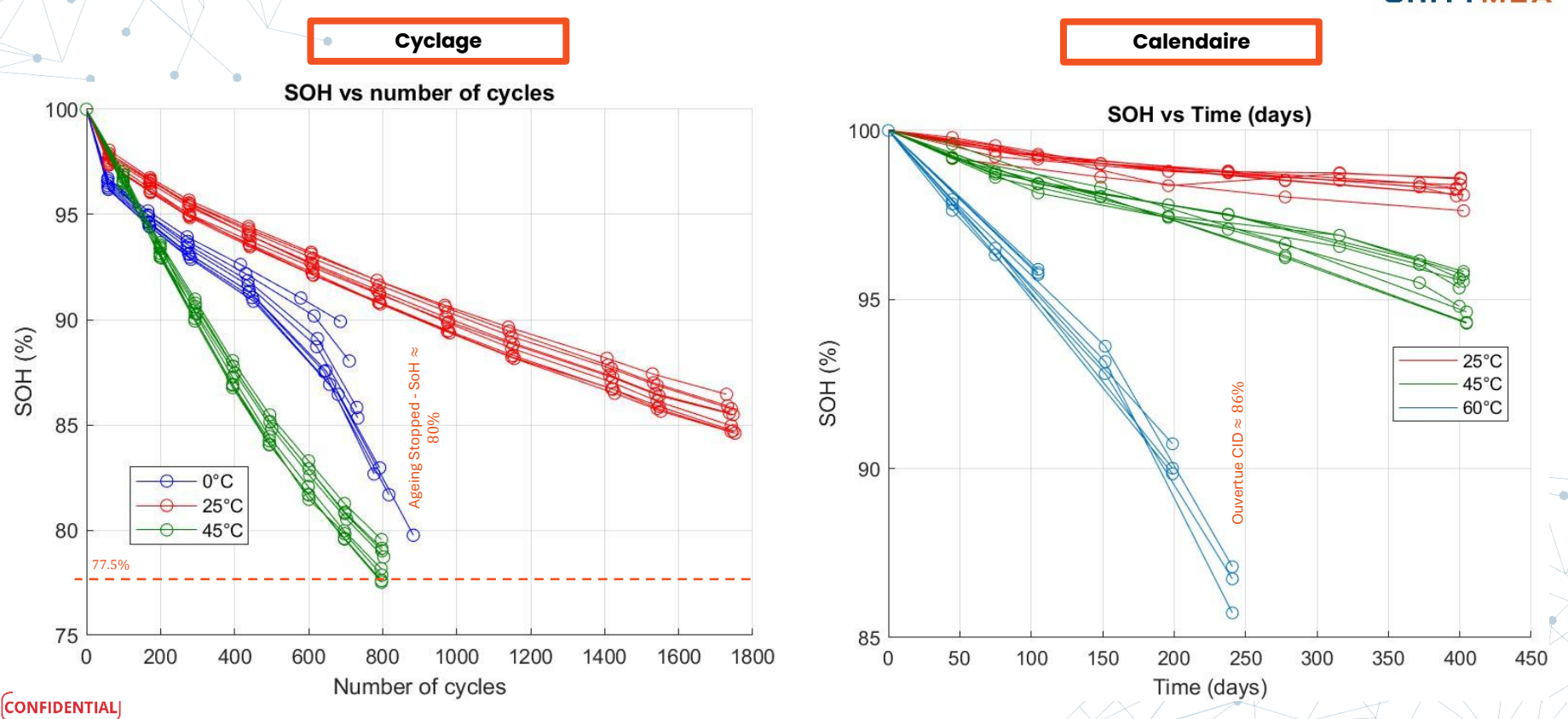
<u>Référence</u>



Essais



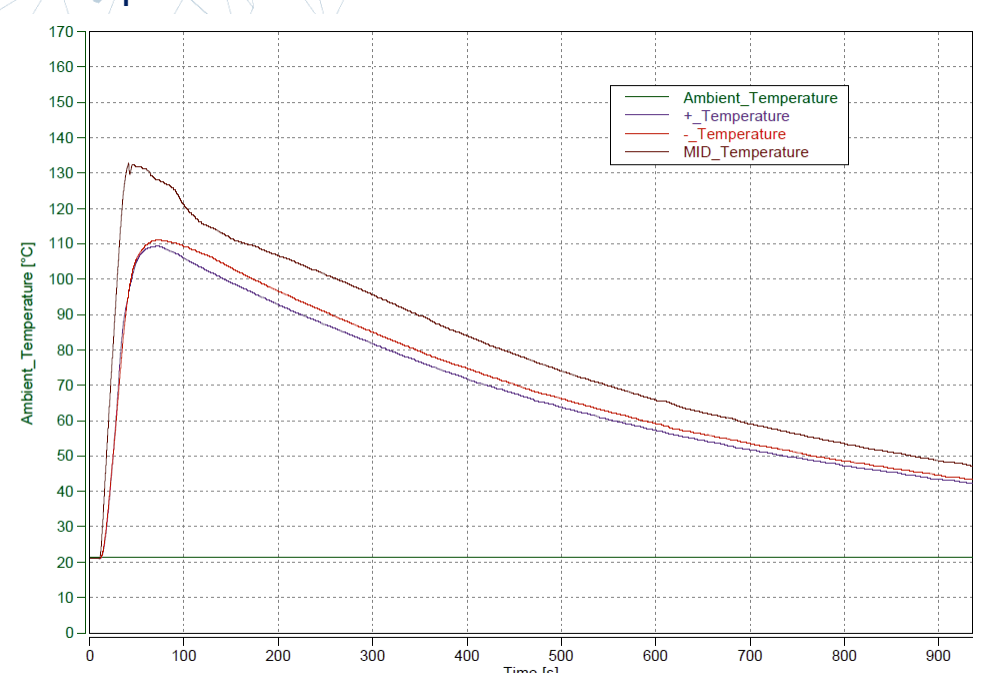
Campagne de vieillissement des cellules 21700

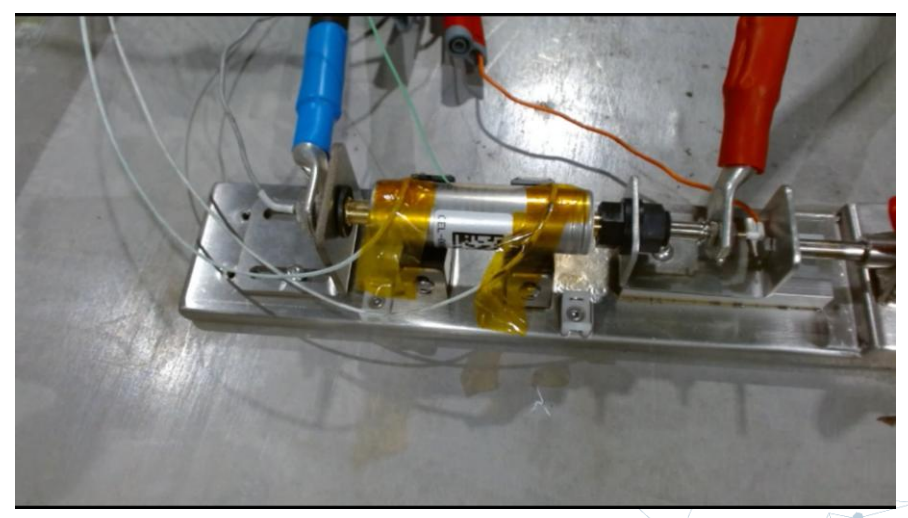


Essais abusifs électriques



Réalisation d'essais abusifs électriques (Court-circuit externe) type IEC 6260-2 afin d'évaluer l'évolution du comportement sécuritaire des batteries en fonction des mécanismes de vieillissements





Essais réalisés sur cellules neuves

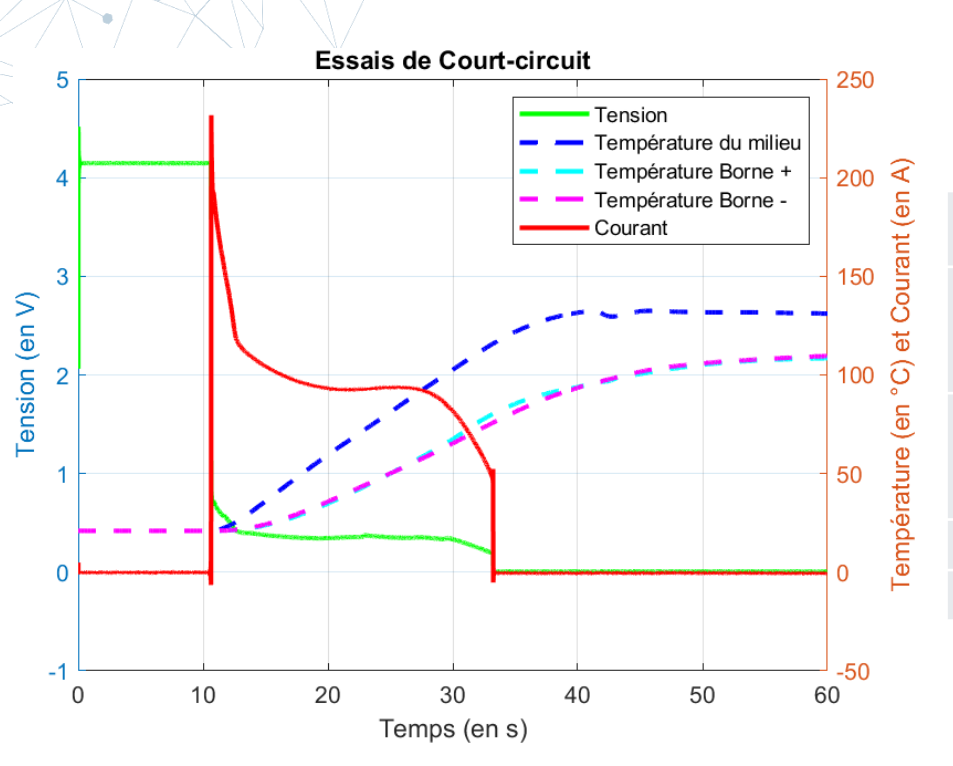
- Les cellules sont équipées de deux dispositifs de sécurité (comme la plupart des cellules cylindriques) à savoir un CID et un event qui limitent les réactions.
 - Les essais sont réalisés sur 3 cellules afin de vérifier la répétabilité



Résultats d'essais court-circuit externe



Cellules ayant déjà atteint la fin de la 1ere vie => vieillissement des autres toujours en cours



Evolution du courant, de la tension et de la température durant un essai de court-circuit

Résultats cellules neuves et vieillies

	Max current (A)	Max temp (°C)	Time before CID opening (s)	Time before event opening (s)	Observations
New	233.6	131.3	21.37	32.16	Swelling, degassing, electrolyte leak
Cycling 0°C	201.9	136.7	42.6	70.1	Swelling, degassing, electrolyte leak
Cycling 45°C	138.9	125.8	37	-	-
Calendar 60°C	162.6	98.3	47.9	-	- 8

Les cellules viellies à 60°C sont plus sûres en comparaison avec les autres cellules. Cela est probablement dû à leur densité d'énergie plus faible et l'absence de lithium plating.



Cône colorimètre modifié

- Mesure de la chaleur dégagée par un matériau lors de sa combustion en conditions contrôlées.
- La chaleur dégagée est calculée selon la méthode de consommation d'oxygène (corrigée avec le CO2): la quantité d'oxygène consommée pendant le processus de combustion est inversement proportionnelle à la quantité de chaleur.
- L'évolution de la consommation d'oxygène est mesurée à l'aide d'un analyseur paramagnétique et la production de CO2 est quantifiée à l'aide d'un NDIR.
- Informations obtenues pour caractériser l'emballement thermique :
 - Maximum de chaleur produite instantanée (Pic HRR, en kW)
 - Quantité totale de chaleur produite (THR, en MJ)

<u>Couplage Spectroscopie Infrarouge à Transformée</u> <u>de Fournier (IRTF)</u>

L'IRTF est utilisée ici pour l'identification et la quantification de ces effluents de gaz issus du test

CO2, CO, HCN, HCl, HBr, SO2, Acroléine, Formaldéhyde, NO, NO2, NOx, NH3, Méthane, Ethène, Propène





Cône calorimètre modifié

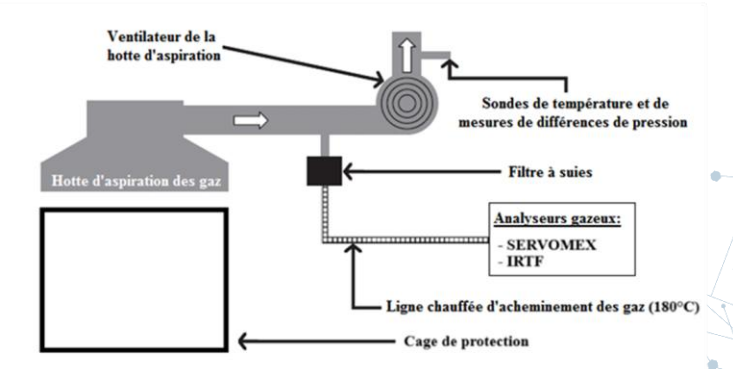


Schéma du dispositif du Cône calorimètre modifié



Protocole de test

- Objectif du test : Quantifier l'emballement thermique et analyser la toxicité des effluents
- Préparation : Montage, calibration cône et IRTF
- Scénarios de test : Mise en emballement thermique de la cellule par surchauffe dans la cage de protection
- Exécution : Réalisation des tests (lancement via le pad chauffant à distance)
- Analyse: Collecte des résultats: pic HRR, THR, T° en surface de la cellule, temps jusqu'à emballement thermique, spectres IRTF en continu
- Outils & Méthodes :
 - Logiciels : OMNIC, ConeCalc, PicoLog
 - Méthodes : ISO-5660 modifiée et complpétée avec spectroscopie IRTF

Paramètres d'acquisition :

Pic HRR: 1 Hz

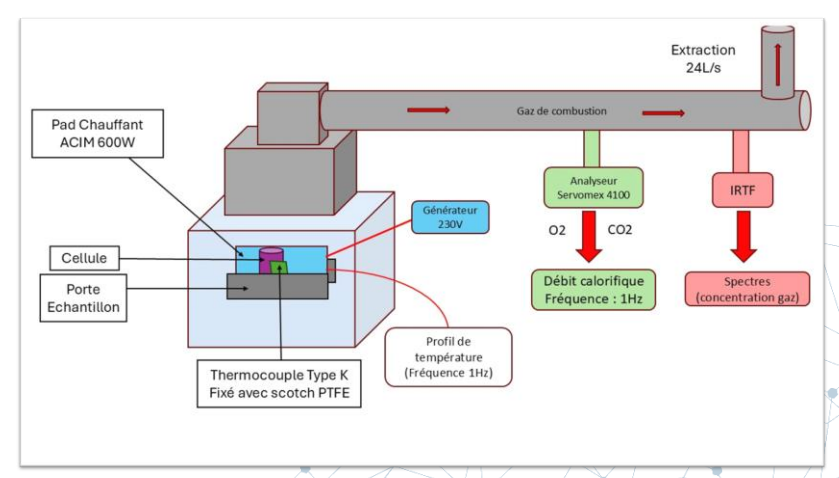
Thermocouple: 1 Hz

• Spectroscopie IRTF (concentration) : 100

Hz ponctuel et 0,4 Hz continu



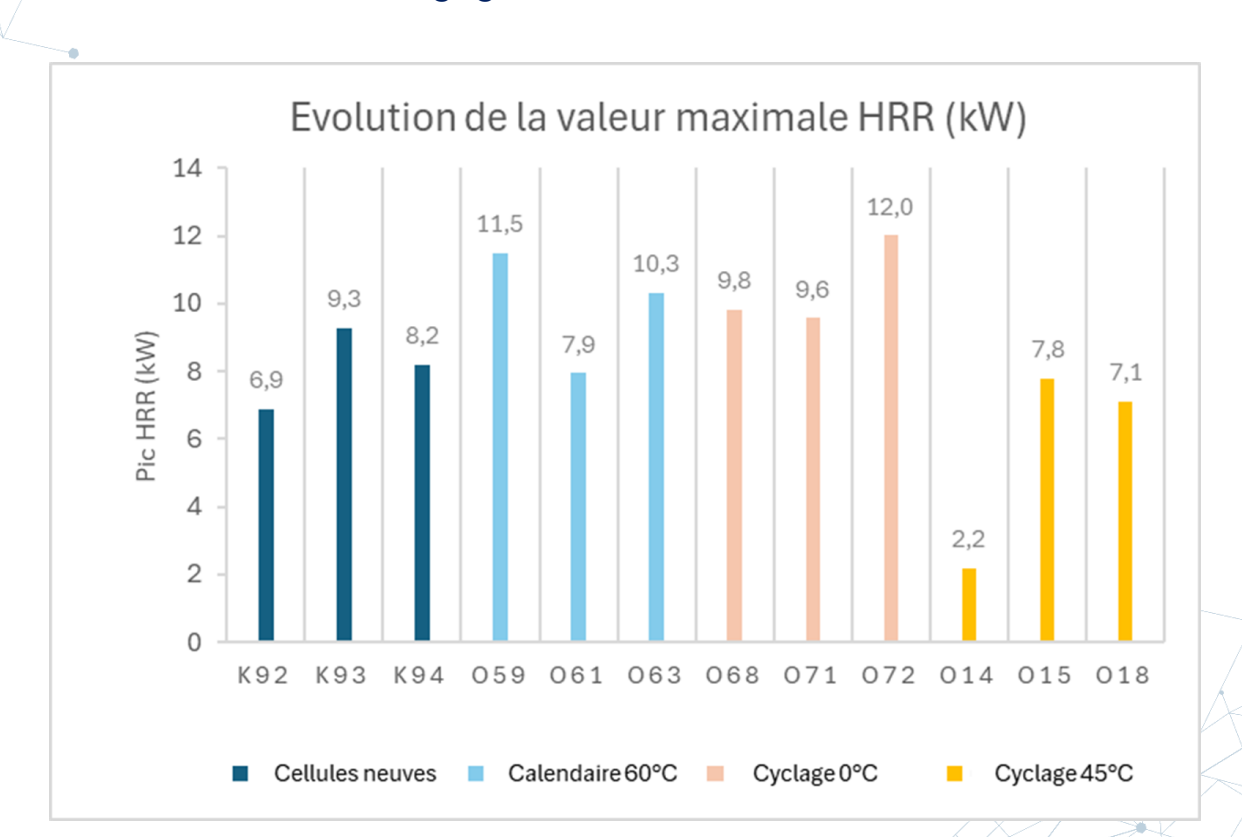
Montage de la cellule dans la cage





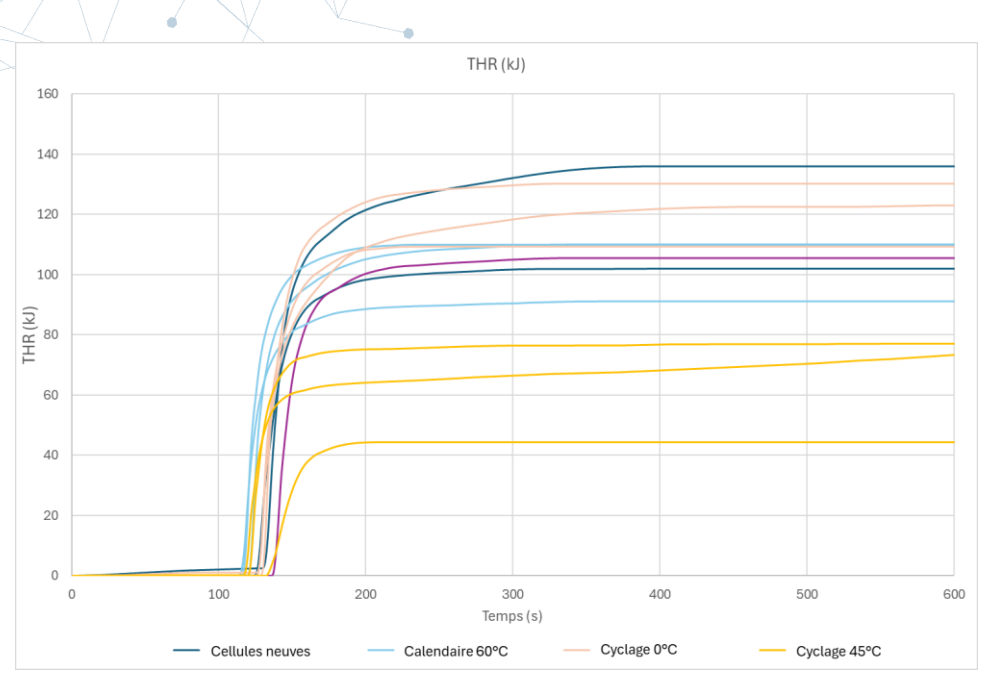


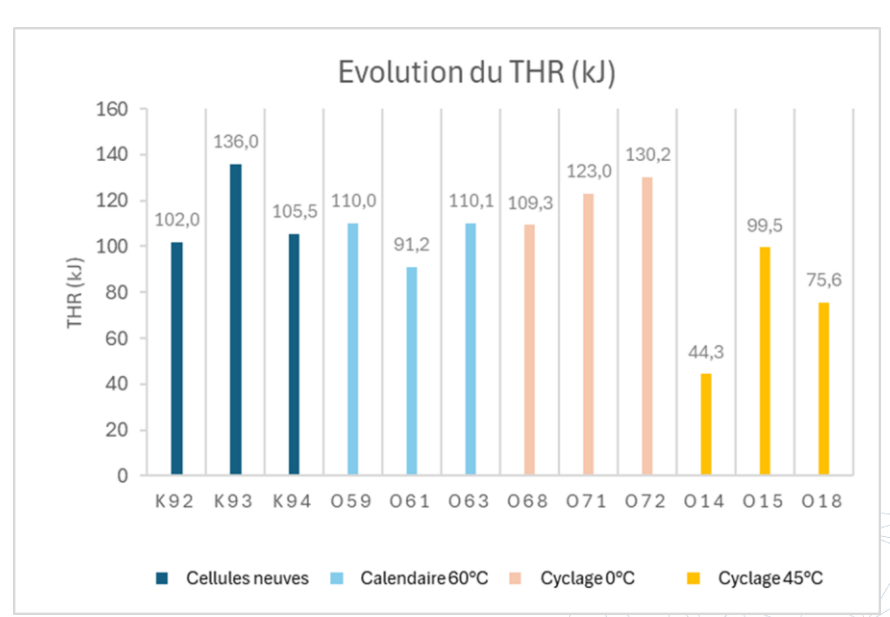
HRR : Hot release rate / Pic de chaleur dégagée



THR : Total heat release / Quantité totale de chaleur dégagée





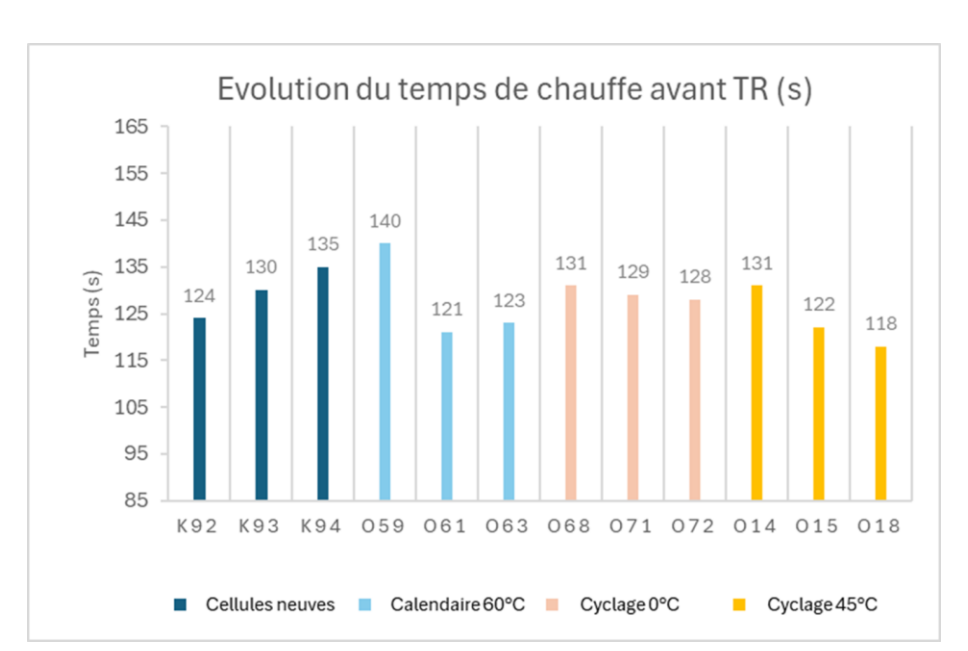


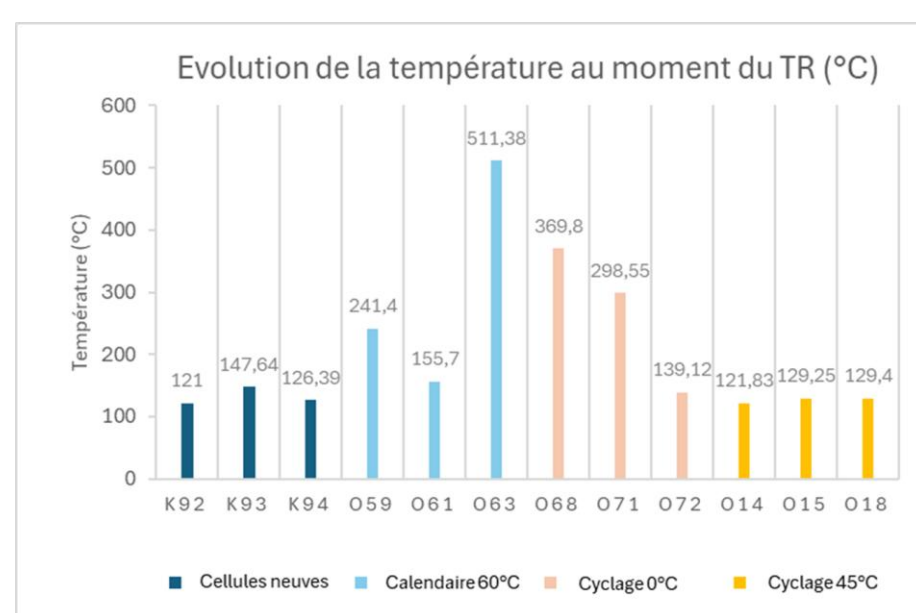
Le débit calorifique de la cellule semble être impacté par le SOH de la cellule





Les résultats indiquent que les cellules vieillies présentent un comportement comparable à celui des cellules neuves, sans risque accru identifié







Cellules Samsung INR21700-53G1 Li-Ion NCA



Neuve (déchargée

Courtcircuitée (externe)





1ère Inspection

Tomographie

par Rayons X



Boîte à gants



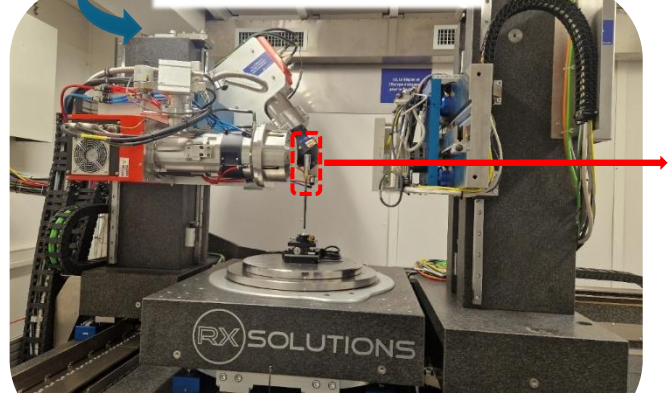
Manuelle



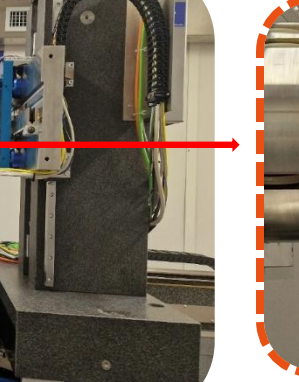
Structurelle (MEB, MET, **AFM,...)**

> Chimique (ICP-MS, FRX, XPS, FTIR, DRX, EDX,...)

Thermique (ATG, DSC,...)



Avant ouverture









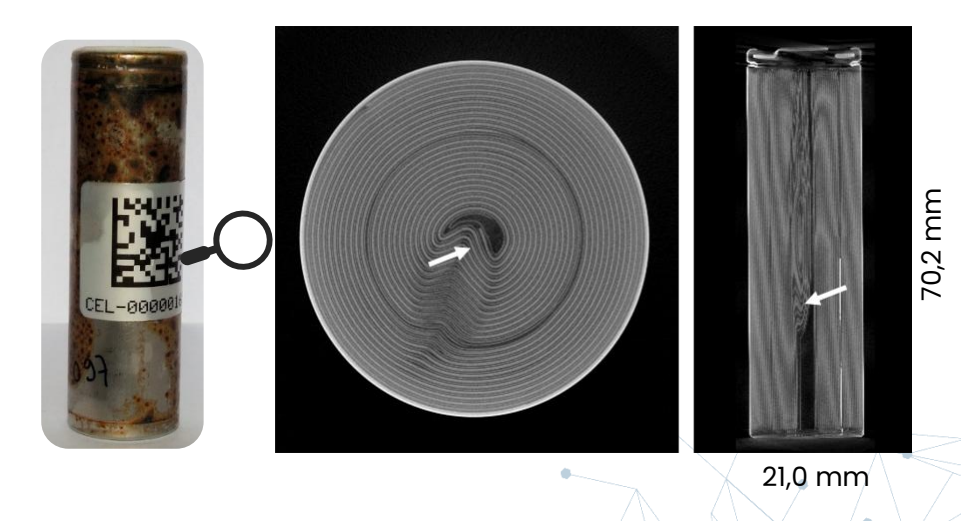
Inspection par Tomographie par Rayons X

Neuve (déchargée) **Vue longitudinale** 70,2 mm 21,0 mm

© Configuration en spirale parfaitement uniforme

© Espacement régulier entre les couches fabrication homogène

Court-circuitée (externe)



8 Déformation visible de la structure en spirale

🖰 Aspect ondulé des couches internes délamination

8 Irrégularité dans l'espacement entre les couches compression et d'expansion



zones de





Démantèlement et



Séparation des matériaux



Court-circuitée (externe)















Anode + Séparateurs + Cathode

100 cm



S

© Séparation « facile » des éléments



Caractérisation Physico-chimique : Analyse de la cathode

Neuve (déchargée)

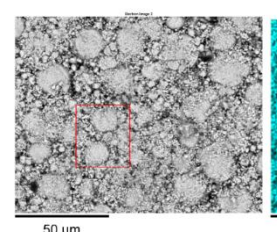


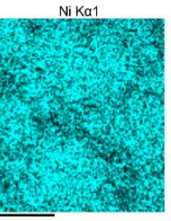
Court-circuitée (externe)



Microscopie électronique à balayage (MEB)

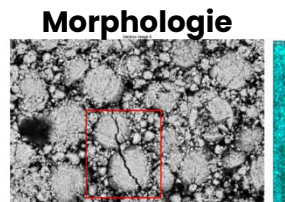
10 µm

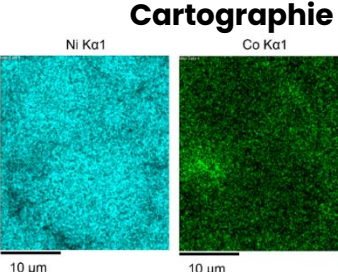


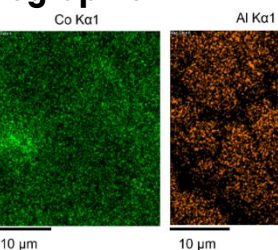










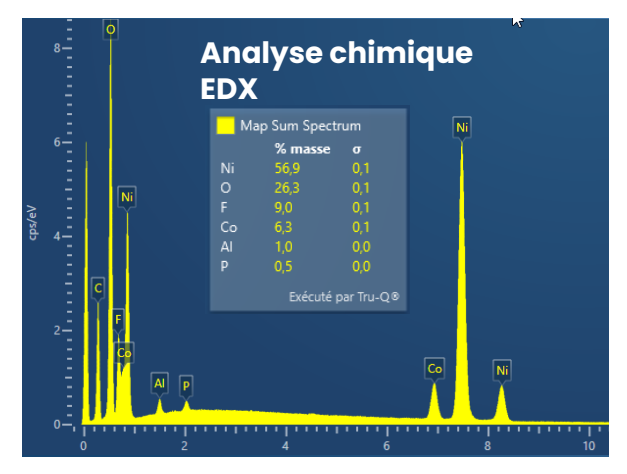




Morphologie caractéristique : particules secondaires NCA

> Absence de fissures

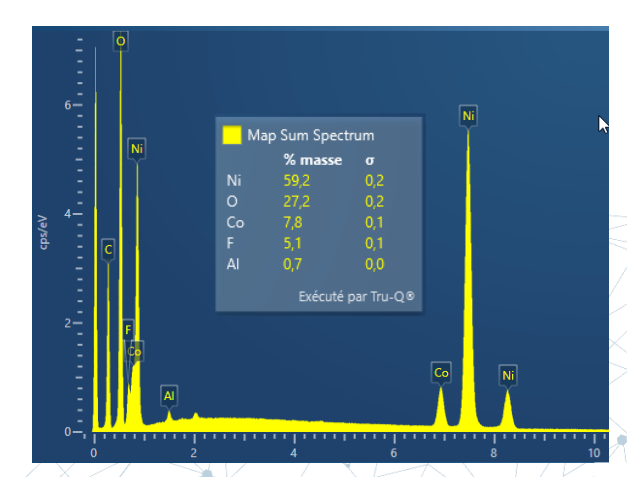
Distribution élémentaire homogène



Dégradation morphologique

Formation de fissures dans les particules secondaires NCA

Fragmentation des particules secondaires: Séparation visible



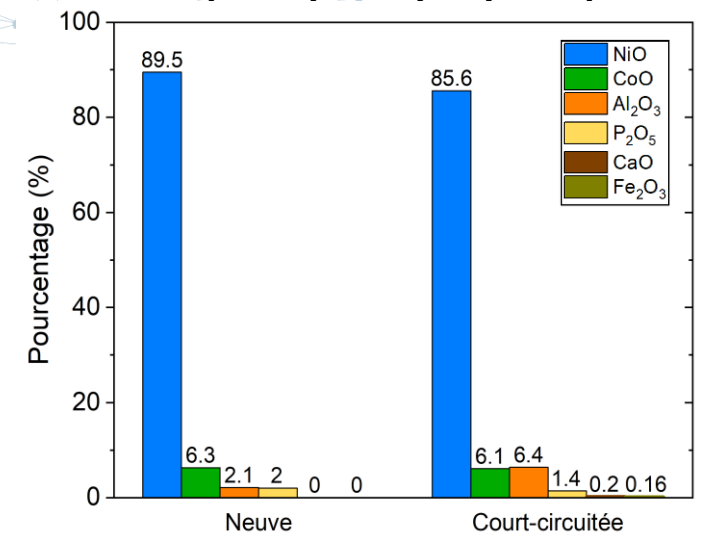




Caractérisation Physico-chimique : <u>Analyse de la cathode</u>



Fluorescence par Rayons X (FRX): composition chimique

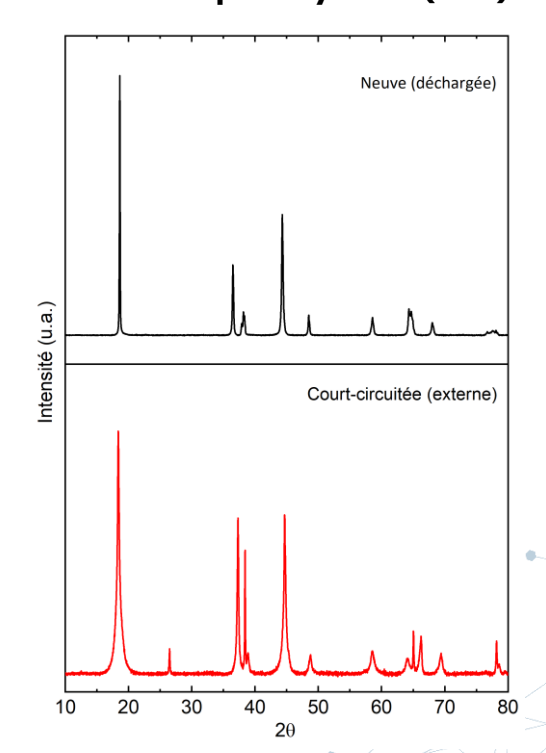


Ca et Fe mécanismes de dégradation thermique (dissolution, contamination croisée, migration)

Ni attaque acide (HF), dissolution des métaux de transition (migration vers anode et perturbation SEI)

🔰 🗚 ➡ dissolution du collecteur de courant, migration, redépôt,...

Diffraction par Rayons X (DRX): Structure, cristallinité



Structure en couches préservée (type R3m)

Légère diminution d'intensité et élargissement

Rapport d'Intensité I₍₀₀₃₎/I₍₁₀₄₎ augmentation du désordre cationique

Nouveaux pics





Caractérisation Physico-chimique : Analyse de l'anode

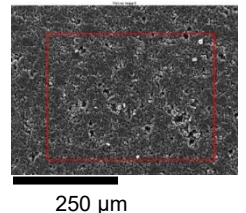
Neuve (déchargée)

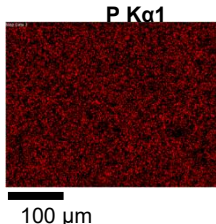


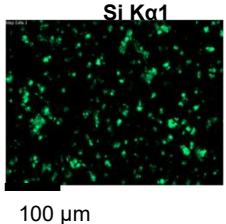
Court-circuitée (externe)

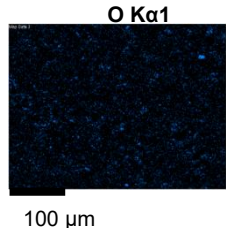


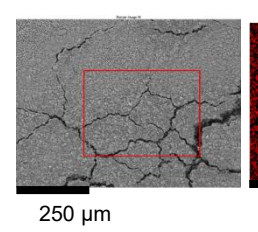
Microscopie électronique à balayage (MEB)

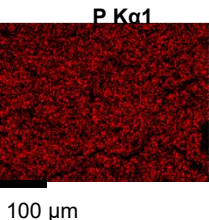


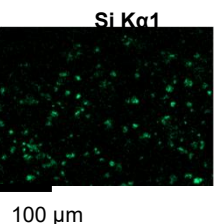


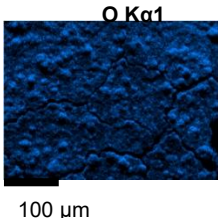








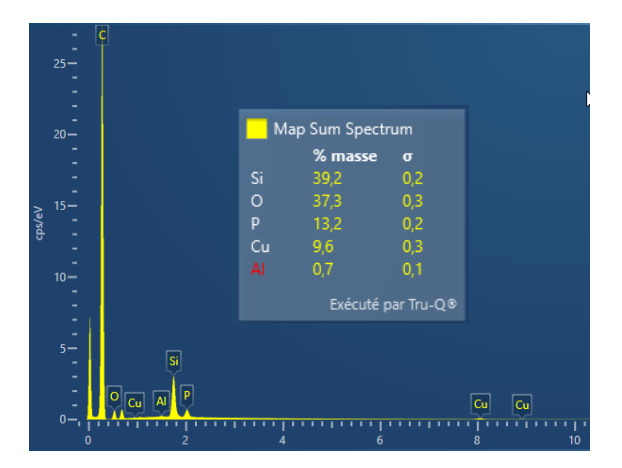




Morphologie caractéristique : graphite

Absence de fissures

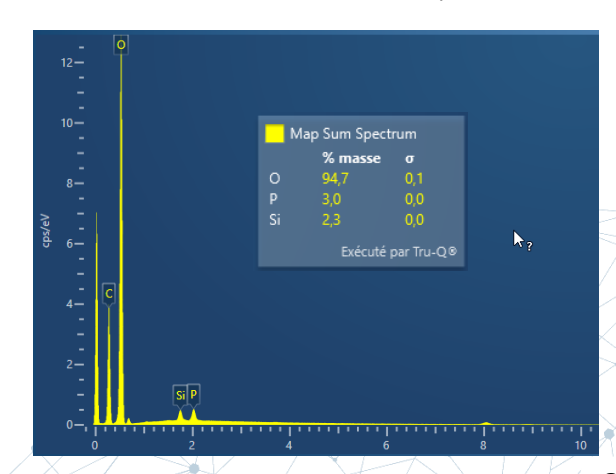
Présence de P : sel de <u>l'électr</u>olyte



Dégradation structurelle sévère

Fissuration extensive (stress thermomécanique)

Augmentation massive d'O







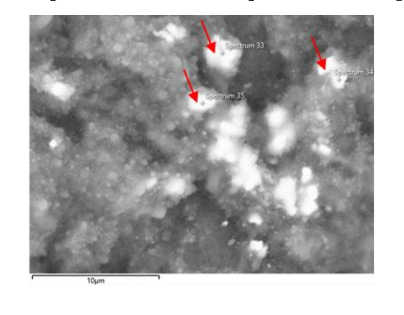
Caractérisation Physico-chimique : Analyse de l'anode



Court-circuitée (externe)

Mise en évidence de la migration des métaux (Ni, Co, Al) de la cathode vers l'anode

Microscopie électronique à balayage (MEB)

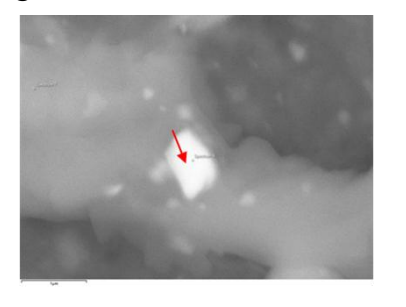


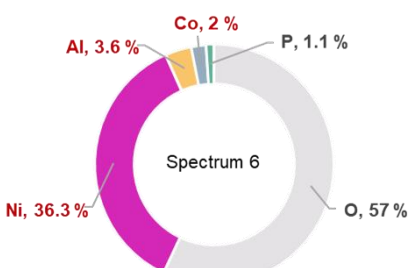
Spectrum 35

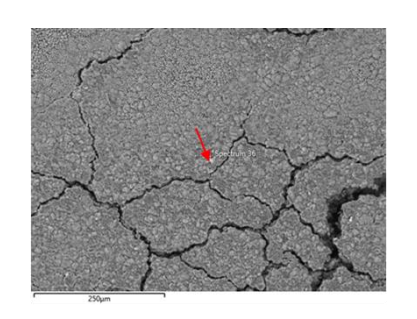
0,64.4%

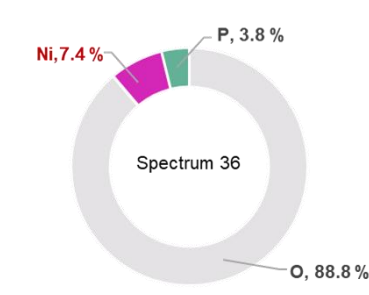
Co, 1.7 %

Ni. 32.8 %

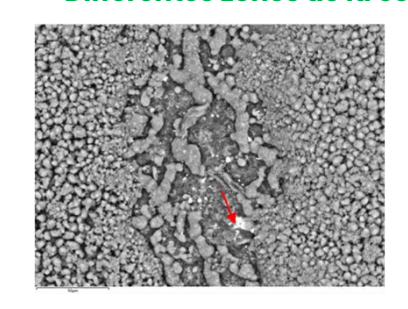








Différentes zones de la cellule







Ni

...O₽

■ Co

Al

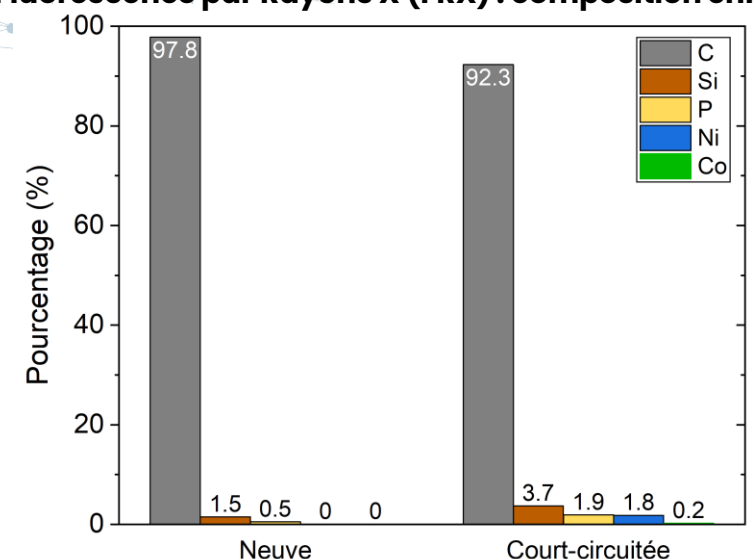
Pas de cartographie mais analyse chimique locale sur les dépôts métalliques : composition très différente



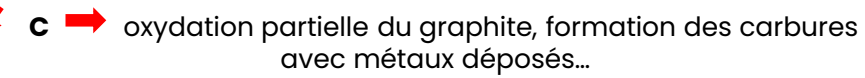
Caractérisation Physico-chimique : Analyse de l'anode



Fluorescence par Rayons X (FRX): composition chimique

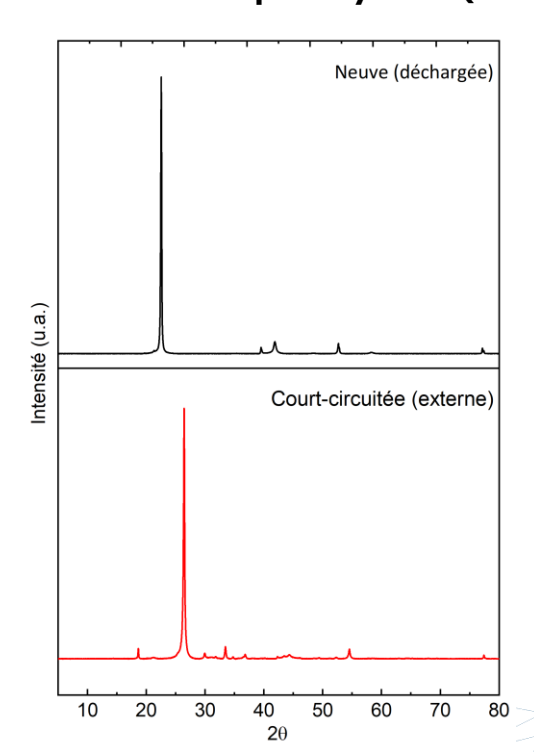


Ni et Co migration depuis la cathode (mécanismes de dégradation thermique, contamination croisée)



Si et P oxydation et/ou agglomération du Si, décomposition massive de sels de Li

Diffraction par Rayons X (DRX): Structure, cristallinité



Intensité élevée et largeur fine (002) (graphite de haute qualité structurelle)

Décalage, diminution d'intensité et élargissement

Formation de défauts, du désordre structural, dégradation cristallinité

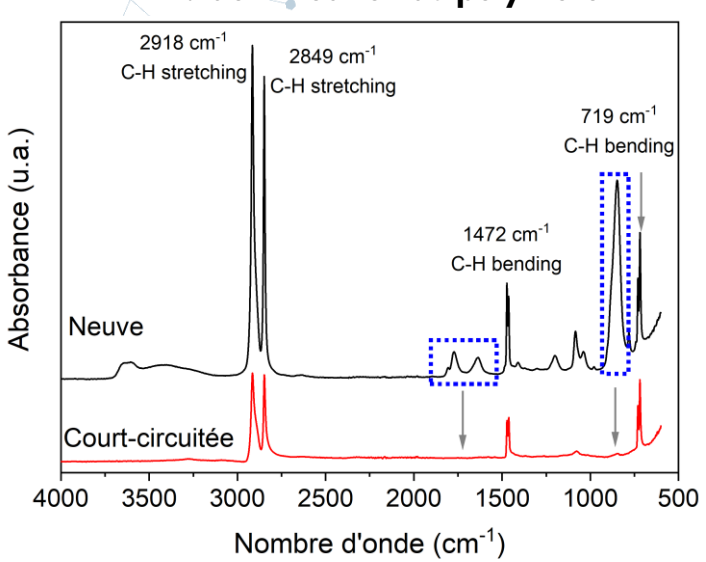
Nouveaux pics (d'autres composants?)



Caractérisation Physico-chimique: Analyse du séparateur



IRTF: identification du polymère

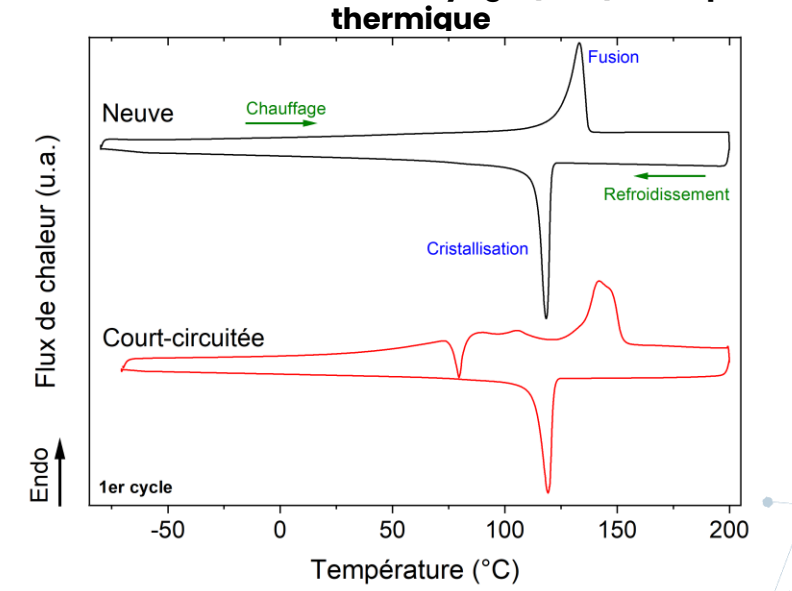


Pics caractéristiques du PE (polyéthylène)

Intensité réduite - dégradation partielle du polymère

~1730, 1620 et 840cm⁻¹ → nouveaux pics (électrolyte liquide)

Calorimétrie Différentielle à Balayage (DSC) : comportement thermique



T fusion typique du PE (cellule neuve)

ler cycle: Pics exothermiques à 80 et 120 °C (cellule court-circuitée)

modifications structurelles, présence de résidus volatils,...

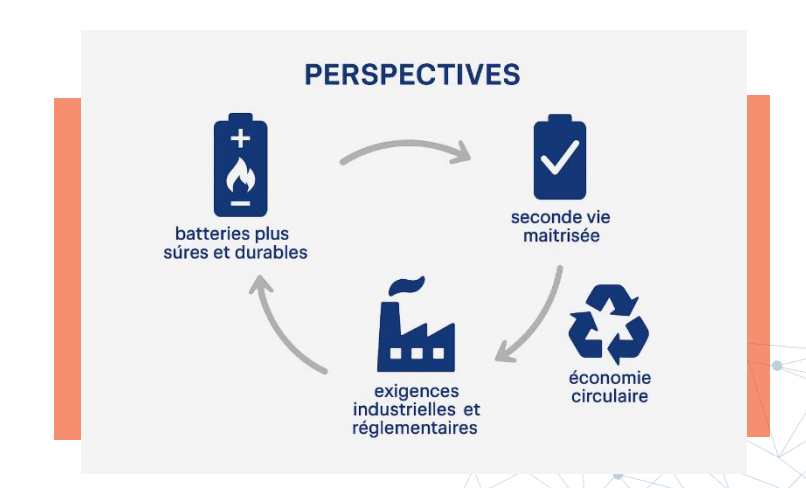


Conclusion



• Ces travaux permettent de construire une compréhension fine du vieillissement et de la sécurité des cellules, tout en ouvrant la voie à une valorisation durable des batteries en fin de première vie.

- · À terme, cette approche intégrée contribue à :
 - Optimiser la durée de vie des systèmes,
 - o Réduire les risques liés à l'usage des batteries,
 - Favoriser une économie circulaire par la réutilisation,
 - Renforcer la souveraineté industrielle dans le domaine du stockage d'énergie.







MERCI